

Хмельник С.И.<https://orcid.org/0000-0002-1493-6630>

Частица – сферическая стоячая волна

Аннотация

Показывается, что одним из решений уравнений Максвелла в сферических координатах является сферическая волна, которую можно отождествить с частицей, являющейся одновременно и частицей, и волной. Тем самым создается математическое описание частицы-И-волны, в отличие от частицы-ИЛИ-волны, которую описывает современная квантовая физика и которая не может одновременно быть и тем, и другим. Эта частица вращается, это явление наблюдается (скорее всего) в экспериментах и описывается как спин – некоторое качество элементарных частиц, не имеющее аналогии в макромире. Существование вращающейся частицы-И-волны разрушает границу между микромиром и макромиром: оба мира могут описываться единой классической электродинамикой.

Оглавление

1. Введение
 2. Уравнения Максвелла в сферических координатах
 3. Энергия сферы
 4. Потоки энергии в сфере
 5. Вращение стоячей волны
 6. Масса сферической волны
 7. Энергия вращения
 8. Сферическая волна - частица
 9. Шаровая молния
- Литература

1. Введение

Ниже доказывається волновая модель частиц. Сама идея о том, что такая модель должна существовать не нова. Эткин в [8] рассматривает краткую историю этой идеи. В 1900 году знаменитый физик и астроном Д. Джинс утверждал, что «*в природе*

есть волны и только волны: замкнутые волны, которые мы называем материей, и незамкнутые волны, которые мы называем излучением или светом» [11]. Таких же взглядов до конца жизни придерживался Э. Шрёдингер, который писал: *«то, что мы сейчас принимаем за частицы, есть на самом деле волны» [9].* Да и автор концепции дуализма «волна-частица» де Бройль, изначально также исходил из того, что *«волны, описываемые квантовой механикой, и есть сама система» [10].*

В [1, глава 4] рассмотрена математическая модель т.н. волны-И-частицы (ВИЧ), которая постоянно и одновременно проявляет и свойства волны, и свойства частицы. ВИЧ является стоячей волной, существующей в ограниченном пространстве вакуума. Она не обладает собственной скоростью и может, подобно частице двигаться со сколь угодно малой скоростью, имеет энергию, внутренний поток энергии и массу. В [1] показывается, что такая волна может существовать в объеме куба. Ниже доказывается, что такая волна может существовать в объеме сферы.

2. Уравнения Максвелла в сферических координатах

В [2, 3] найдено решение уравнений Максвелла в сферических координатах. Известное решение для сферической электромагнитной волны не удовлетворяет закону сохранения энергии (она сохраняется только в среднем), одноименные (по координатам) электрические и магнитные напряженности синфазны, выполняется только одно из системы уравнений Максвелла, решение не является волновым, отсутствует поток энергии с реальным значением. Предлагаемое решение свободно от этих недостатков. Система уравнений Максвелла, будучи системой дифференциальных уравнений в частных производных, имеет множество решений. Применимость решения для физики определяется единственным критерием: оно должно удовлетворять закону сохранения энергии (ЗСИ). Существующее решение НЕ удовлетворяет этому закону.

Итак, рассмотрим систему уравнений Максвелла для вакуума, которая имеет вид

$$\operatorname{rot}(E) + \frac{\mu}{c} \frac{\partial H}{\partial t} = 0, \quad (a)$$

$$\operatorname{rot}(H) - \frac{\varepsilon}{c} \frac{\partial E}{\partial t} = 0, \quad (b)$$

$$\operatorname{div}(E) = 0, \quad (c)$$

$$\operatorname{div}(H) = 0. \quad (d)$$

где

E - напряженность электрического поля,

H - напряженность магнитного поля,

μ - абсолютная магнитная проницаемость,

ε - абсолютная диэлектрическая проницаемость.

Далее рассматриваются сферические координаты – см. рис. 1. Уравнения Максвелла в сферических координатах при отсутствии зарядов и токов имеют вид, приведенный в табл. 1.

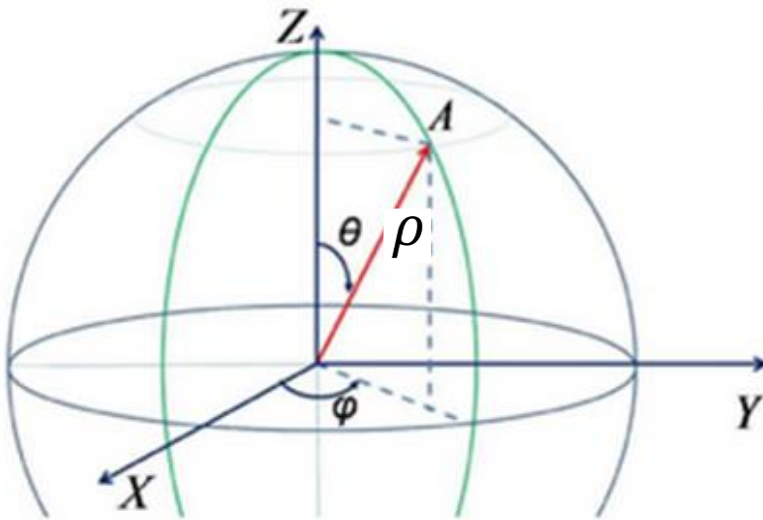


Рис. 1.

Таблица 1.

1	3
1	$\frac{E_\varphi}{\rho \operatorname{tg}(\theta)} + \frac{\partial E_\varphi}{\rho \partial \theta} - \frac{\partial E_\theta}{\rho \sin(\theta) \partial \varphi} + \frac{\mu}{c} \frac{\partial H_\rho}{\partial t} = 0$
2	$\frac{\partial E_\rho}{\rho \sin(\theta) \partial \varphi} - \frac{E_\varphi}{\rho} - \frac{\partial E_\varphi}{\partial \rho} + \frac{\mu}{c} \frac{\partial H_\theta}{\partial t} = 0$
3	$\frac{E_\theta}{\rho} + \frac{\partial E_\theta}{\partial \rho} - \frac{\partial E_\rho}{\rho \partial \varphi} + \frac{\mu}{c} \frac{\partial H_\varphi}{\partial t} = 0$
4	$\frac{E_\rho}{\rho} + \frac{\partial E_\rho}{\partial \rho} + \frac{E_\theta}{\rho \operatorname{tg}(\theta)} + \frac{\partial E_\theta}{\rho \partial \theta} + \frac{\partial E_\varphi}{\rho \sin(\theta) \partial \varphi} = 0$

5	$\frac{H_\varphi}{\rho t g(\theta)} + \frac{\partial H_\varphi}{\rho \partial \theta} - \frac{\partial H_\theta}{\rho \sin(\theta) \partial \varphi} - \frac{\varepsilon \partial E_\rho}{c \partial t} = 0$
6	$\frac{\partial H_\rho}{\rho \sin(\theta) \partial \varphi} - \frac{H_\varphi}{\rho} - \frac{\partial H_\varphi}{\partial \rho} - \frac{\varepsilon \partial E_\theta}{c \partial t} = 0$
7	$\frac{H_\theta}{\rho} + \frac{\partial H_\theta}{\partial \rho} - \frac{\partial H_\rho}{\rho \partial \varphi} - \frac{\varepsilon \partial E_\varphi}{c \partial t} = 0$
8	$\frac{H_\rho}{\rho} + \frac{\partial H_\rho}{\partial \rho} + \frac{H_\theta}{\rho t g(\theta)} + \frac{\partial H_\theta}{\rho \partial \theta} + \frac{\partial H_\varphi}{\rho \sin(\theta) \partial \varphi} = 0$

В найденных решениях напряженности определяются формулами следующего вида:

$$E_\varphi = \frac{e_\varphi}{\rho} \text{Kh}m(\theta, \alpha) \sin(\alpha \varphi + \chi \rho + \omega t), \quad (1)$$

$$E_\theta = \frac{e_\theta}{\rho} \text{Kh}m(\theta, \alpha) \cos(\alpha \varphi + \chi \rho + \omega t), \quad (2)$$

$$E_\rho = \frac{e_\rho}{\rho} \text{Kh}m(\theta, \alpha) \sin(\alpha \varphi + \chi \rho + \omega t), \quad (3)$$

$$H_\varphi = \frac{h_\varphi}{\rho} \text{Kh}m(\theta, \alpha) \cos(\alpha \varphi + \chi \rho + \omega t), \quad (4)$$

$$H_\theta = \frac{h_\theta}{\rho} \text{Kh}m(\theta, \alpha) \sin(\alpha \varphi + \chi \rho + \omega t), \quad (5)$$

$$H_\rho = \frac{h_\rho}{\rho} \text{Kh}m(\theta, \alpha) \cos(\alpha \varphi + \chi \rho + \omega t), \quad (6)$$

где $\text{Kh}m$ - некоторая функция, $\alpha, \chi, \omega, e_\varphi, h_\varphi$ - константы. Мы рассмотрим частный случай, когда

$$\alpha = 20. \quad (7)$$

В этом случае

$$\text{Kh}m(\theta, 20) = \sin(\theta) \quad (8)$$

и система уравнений (1-6) упрощается:

$$E_\varphi = \frac{e_\varphi}{\rho} \sin(\theta) \sin(\alpha \varphi + \chi \rho + \omega t), \quad (9)$$

$$E_\theta = \frac{e_\theta}{\rho} \sin(\theta) \cos(\alpha \varphi + \chi \rho + \omega t), \quad (10)$$

$$H_\varphi = \frac{h_\varphi}{\rho} \sin(\theta) \cos(\alpha \varphi + \chi \rho + \omega t), \quad (11)$$

$$H_\theta = \frac{h_\theta}{\rho} \sin(\theta) \sin(\alpha \varphi + \chi \rho + \omega t), \quad (12)$$

В [3] показано, что

$$e_\varphi = e_\theta, \quad (13)$$

$$h_\varphi = -h_\theta. \quad (14)$$

$$h_\varphi = \sqrt{\frac{\varepsilon}{\mu}} e_\theta, \quad (15)$$

$$h_{\theta} = -\sqrt{\frac{\varepsilon}{\mu}} e_{\varphi}, \quad (16)$$

3. Энергия сферы

Плотность энергии

$$W = \frac{1}{8\pi} (\varepsilon H^2 + \mu E^2) \quad (1)$$

Из предыдущих формул следует, что

$$W = \frac{\varepsilon e_{\varphi}^2}{4\pi\rho^2} \sin^2(\theta). \quad (2)$$

Вся энергия электромагнитной волны в сфере радиуса R :

$$W = \frac{\pi\varepsilon e_{\varphi}^2}{2R}. \quad (3)$$

4. Потоки энергии в сфере

В [3] показано, что в сфере существуют только потоки энергии, проходящие вдоль радиуса, наклоненного под углом θ . Плотность этой энергии

$$S_{\rho} = \frac{c}{4\pi\rho^2} \sqrt{\frac{\varepsilon}{\mu}} (\sin(\theta) \cdot e_{\varphi})^2. \quad (1)$$

Это означает, что поток энергии, проходящий по радиусу, остается постоянным во времени, что соответствует закону сохранения энергии. Это означает также, что на каждой окружности, заданной значениями θ и ρ (см. зеленую окружность на рис. 1), существует стоячая электромагнитная волна.

Найдем отношение плотности потока энергии (1) к плотности энергии (3.2):

$$S_{\rho}/W = \frac{c}{4\pi\rho^2} \sqrt{\frac{\varepsilon}{\mu}} (\sin(\theta)e_{\varphi})^2 / \sin^2(\theta) \frac{\varepsilon e_{\varphi}^2}{4\pi\rho^2} = \sqrt{\frac{\varepsilon}{\mu}} / \frac{c}{\varepsilon} = \frac{c}{\sqrt{\varepsilon\mu}}, \quad (2)$$

Поскольку $c = \frac{1}{\sqrt{\varepsilon\mu}}$, то

$$S_{\rho}/W = c^2. \quad (3)$$

5. Вращение стоячей волны

Снова рассмотрим зеленую окружность на рис. 1, на которой существует стоячая электромагнитная волна. В этой волне колеблются (во времени) магнитные и электрические напряженности – см. (2.9-2.12).

Найдем скорость вращения этой окружности при изменении φ . Очевидно, эта скорость равна производной от функции, заданной неявно в виде этих уравнений. Рассмотрим, например, функцию H_φ (2.11). Имеем:

$$\frac{d(H_\varphi)}{d\varphi} = h_\varphi \frac{d}{d\varphi} (\cos(\alpha\varphi + \chi z + \omega t)) = -\alpha h_\varphi \sin(\alpha\varphi + \chi z + \omega t),$$

$$\frac{d(H_\varphi)}{dt} = h_\varphi \frac{d}{dt} (\cos(\alpha\varphi + \chi z + \omega t)) = -\omega h_\varphi \sin(\alpha\varphi + \chi z + \omega t).$$

Тогда угловая скорость вращения сферической электромагнитной волны

$$\omega_\varphi = \frac{d\varphi}{dt} = \frac{d(H_\varphi)/dt}{d(H_\varphi)/d\varphi} = \frac{\omega}{\alpha}. \quad (3)$$

Таким образом, существует скорость вращения электромагнитной волны, пульсирующей на зеленой окружности. Эта скорость НЕ зависит от радиуса окружности. Это означает, что вращается весь круг, в котором находится зеленая окружность, и, следовательно, вся сферическая электромагнитная волна вращается с угловой скоростью ω_φ вокруг оси z.

6. Масса сферической волны

Мы будем использовать известную формулу Умова, которая связывает плотности энергии и потока энергии со скоростью движения энергии:

$$v = \frac{S}{W}. \quad (1)$$

Известно также, что плотность импульса

$$p = \frac{W}{v}, \quad (2)$$

а масса

$$m = \frac{p}{v} = \frac{W}{v^2}. \quad (3)$$

Следовательно,

$$m = \frac{w^3}{S^2}. \quad (4)$$

В (4.3) было показано, что

$$\frac{S}{W} = c^2. \quad (5)$$

Из (4, 5) находим;

$$m = \frac{w}{c^2}. \quad (6)$$

Мы получили известное соотношение.

7. Энергия вращения

В разделе 5 показано, что сферическая электромагнитная волна вращается с угловой скоростью

$$\omega_{\varphi} = \frac{\omega}{\alpha}. \quad (1)$$

Плотность момента инерции волны относительно центральной оси

$$j = m r^2, \quad (2)$$

где радиус вращения массы m определяется формулой вида

$$r = \rho \sin(\theta) \quad (3)$$

- см. рис. 1. Следовательно,

$$j = m \rho^2 \sin^2(\theta). \quad (4)$$

Плотность энергии вращательного движения волны

$$Q(r) = m r^2 \omega_{\varphi}^2 = m \rho^2 \sin^2(\theta) \left(\frac{\omega}{\alpha}\right)^2 \quad (5)$$

или, с учетом (6.6),

$$Q(r) = \frac{W}{c^2} \rho^2 \sin^2(\theta) \left(\frac{\omega}{\alpha}\right)^2. \quad (6)$$

или, с учетом (3.2),

$$Q(r) = \frac{\varepsilon e_{\varphi}^2}{4\pi c^2} \left(\frac{\omega}{\alpha}\right)^2 \sin^4(\theta). \quad (7)$$

Таким образом, аналогично массе m и энергии W , в сферической волне есть момент инерции j и энергия вращательного движения Q . Найдем энергию вращательного движения волны в сфере радиуса R :

$$\begin{aligned} W_o &= \frac{\varepsilon e_{\varphi}^2}{4\pi c^2} \left(\frac{\omega}{\alpha}\right)^2 \int_0^R \left(\int_0^{2\pi} \left(\int_0^{2\pi} (\sin^4(\theta) d\theta) \right) d\varphi \right) d\rho = \\ &= \frac{\varepsilon e_{\varphi}^2}{4\pi c^2} \left(\frac{\omega}{\alpha}\right)^2 R \int_0^{2\pi} \left(\int_0^{2\pi} (\sin^4(\theta) d\theta) \right) d\varphi = \frac{\varepsilon e_{\varphi}^2}{4\pi c^2} \left(\frac{\omega}{\alpha}\right)^2 R \left(2\pi \frac{3}{4}\pi\right) \end{aligned}$$

или

$$W_o = \frac{3\pi\varepsilon}{8} \left(\frac{\omega}{\alpha c}\right)^2 e_{\varphi}^2 R. \quad (8)$$

8. Сферическая волна - частица

Итак, мы получили математическое описание сферической волны, в которой

- Отсутствуют радиальные напряженности,
- Присутствуют радиальные потоки энергии,

- Напряженности образуют стоячие электромагнитные волны,
- Энергия волны имеет постоянное значение,
- Потоки энергии имеет постоянное значение,
- Существует электромагнитная масса, созданная колеблющимся потоком электромагнитной энергии,
- Электромагнитная волна вращается вокруг некоторой оси,
- Существует энергия вращения волны, создаваемая вращением электромагнитной массы.

Все эти характеристики волны, позволяют отождествить ее с частицей, которая является одновременно и частицей, и волной. Мы получили математическое описание частицы-И-волны, в отличие от частицы-ИДИ-волны, которую описывает современная квантовая физика и которая не может одновременно быть и тем, и другим.

Эта частица вращается. Это явление и наблюдается (скорее всего) в экспериментах и описывается как спин – некоторое качество элементарных частиц, не имеющее аналогии в макромире. Существование вращающейся частицы-И-волны разрушает границу между микромиром и макромиром: оба мира могут описываться единой классической электродинамикой.

9. Шаровая молния

Нет видимых ограничений на размер сферической вращающейся частицы-И-волны. Таким образованием, по-видимому, являются некоторые виды шаровой молнии. В [4] читаем: *Большое количество свидетельских показаний, подробно описанных в литературе [5, 6, 7], позволяют выделить ряд свойств ШМ, неоднократно повторяющихся в различных документах и поэтому обладающих высокой степенью достоверности:*

1. высокая плотность энергии - тысячи джоулей в кубическом сантиметре.
2. аномально высокая удельная плотность энергии [5],
3. не взаимодействует с мощным воздушным потоком,
4. притягиваются к трубам, ... отверстиям, щелям,
5. разламывают на мелкие куски пластмассовые предметы,
6. на расстоянии в несколько метров способны выплавить часть стекла в замкнутой алюминиевой рамке визирного отверстия фотоаппарата, нагревают кольца, надетые на палец,
7. свободно проходят сквозь стекло, изоляцию проводов, не повреждая их, иногда испаряя или выплавляя небольшие отверстия,

8. обычно не имеют теплового излучения,
9. наблюдаются как светящиеся плазменные или излучающие коронарный разряд шары, иногда имеющие серый или черный цвет; описаны прозрачные ШМ [7],
10. часто наблюдается строго параллельное движение вдоль стен, земли, металлических поверхностей,
11. при разрушении ШМ слышен взрыв, может происходить электрический удар, мощный разряд в землю; появление светящейся короны,
12. время жизни ШМ может составлять десятки секунд; черные ШМ существуют несколько дней [7].
13. способны возникать мгновенно внутри закрытых помещений на значительных расстояниях от окружающих предметов.

Можно заметить, что многие пункты в этом списке могут быть объяснены тем, что ШМ является сферической волной.

Литература

1. Хмельник С.И. Уравнения Максвелла в квантовой физике, пятая редакция, стр. 1–114. "MiC" - Mathematics in Computer Comp., <https://doi.org/10.5281/zenodo.8395497>
2. Хмельник С.И. Новое решение уравнений Максвелла для сферической волны, 1917, <https://vixra.org/pdf/1711.0242v2.pdf>
3. Хмельник С.И. Новые решения уравнений Максвелла. Version 25, pp. 1–471, "MiC" - Mathematics in Computer Comp., <https://doi.org/10.5281/zenodo.10658891>
4. Щербак В.С. Трудно объяснимые свойства шаровой молнии, https://vk.com/wall-46561349_27048
5. Барри Д. Шаровая молния и четочная молния. М. Мир. 1983, с. 80.
6. Стаханов И.П. О физической природе шаровой молнии. М. Атомиздат, 1985.
7. Авраменко Р.Ф. Шаровая молния в лаборатории. М. Химия, 1994, с. 184.
8. Etkin V.A. On Wave Nature of Matter, http://www.etkin.iri-as.org/ON_WAVE.pdf
9. Schrödinger E. My View of the World. Ox Bow Press, 1983.
10. Л. де Бройль. По тропам науки. — М.: ИИЛ, 1962.
11. Jeans J.H. The New Background of Science. — London, 1933.